



УДК 517.9

О применении преобразования Себана – Бонда и теоремы Коши – Ковалевской в одной краевой задаче для системы Навье – Стокса *

А. И. Дрегля

Иркутский государственный университет

Аннотация. Система дифференциальных уравнений Навье – Стокса с помощью замены Себана – Бонда сводится к двум нелинейным дифференциальным уравнениям в форме Коши – Ковалевской. Получены достаточные условия разрешимости этой системы с начальными и начально-краевыми условиями, обоснована сходимость рядов в методе Крайна.

Ключевые слова: метод Крайна; погранслои; уравнения Блэзиуса; сходимость рядов; асимптотика; численные методы.

1. Введение

В статьях Лоренса Крайна [6, 7] предложен способ построения аналитических решений уравнений Навье – Стокса

$$\frac{\partial}{\partial x}(ur) + \frac{\partial}{\partial r}(vr) = 0, \quad (1.1)$$

$$u \frac{\partial u}{\partial x} + v \frac{\partial u}{\partial r} = \frac{\nu}{r} \frac{\partial}{\partial r} \left(r \frac{\partial u}{\partial r} \right), \quad (1.2)$$

$$u \frac{\partial T}{\partial x} + v \frac{\partial T}{\partial r} = \frac{\nu}{P} \frac{\partial}{\partial r} \left(r \frac{\partial T}{\partial r} \right), \quad (1.3)$$

где ν — кинематическая вязкость и P — число Прандтля. При этом вопрос о сходимости соответствующих рядов оставался открытым. Уравнения (1.1) – (1.3) играют важную роль в математических моделях

* Работа выполнена в рамках федеральной целевой программы «Научные и научно-педагогические кадры инновационной России» на 2009–2013 годы (мероприятие 1.2.2, проект 2012-1.2.2-12-000-1001-012), частично поддержана грантом Минобрнауки РФ, номер госрегистрации НИР: 01200804682.

формования волокна [6, 7] и в других моделях прикладной математики. В данной работе уравнения погранслоя (1.1) – (1.3) сводятся к системе двух нелинейных уравнений в частных производных в форме Коши – Ковалевской. Получены достаточные условия разрешимости этой системы с начально-краевыми условиями и доказана сходимость рядов представляющих решение. На этой основе проведены численные расчеты распределений скоростей теплообмена соответствующих моделей формования синтетических волокон.

2. Редукция системы (1.1) – (1.3), существование и построение решений

Воспользуемся заменой переменных Себана и Бонда [11]

$$X = 2\sqrt{\frac{4\nu x}{U_0 a^2}}, \quad Y = \sqrt{\frac{U_0 a^2}{4\nu x} \left[\frac{r^2 - a^2}{2a^2} \right]}, \quad (2.1)$$

$$\psi = \frac{4\nu x}{X} F(X, Y). \quad (2.2)$$

$$G = \frac{T - T_\infty}{T_c - T_\infty}, \quad (2.3)$$

где T_c, T_∞ постоянные величины соответствующие температурным значениям волокна в начале процесса формования волокна и соответственно в конце процесса. Тогда уравнения (1.2) и (1.3) примут вид:

$$\frac{\partial}{\partial Y} \left[(1 + XY) \frac{\partial^2 F}{\partial Y^2} \right] + F \frac{\partial^2 F}{\partial Y^2} + X \left[\frac{\partial F}{\partial X} \frac{\partial^2 F}{\partial Y^2} - \frac{\partial F}{\partial Y} \frac{\partial^2 F}{\partial X \partial Y} \right] = 0, \quad (2.4)$$

$$\frac{\partial}{\partial Y} \left[(1 + XY) \frac{\partial G}{\partial Y} \right] + PF \frac{\partial G}{\partial Y} + PX \left[\frac{\partial F}{\partial X} \frac{\partial G}{\partial Y} - \frac{\partial F}{\partial Y} \frac{\partial G}{\partial X} \right] = 0. \quad (2.5)$$

Будем рассматривать эту систему с граничными условиями

$$Y = 0 : F + X \frac{\partial F}{\partial X} = 0, \quad \frac{\partial F}{\partial Y} = 2, \quad G = 1,$$

$$Y = \infty : \frac{\partial F}{\partial Y} = G = 0.$$

Решение системы (2.4) и (2.5) будем искать в виде рядов

$$F = F_0 + XF_1 + X^2 F_2 + \dots \quad (2.6)$$

$$G = G_0 + XG_1 + X^2 G_2 + \dots \quad (2.7)$$

Следовательно, первые приближения для F и G будут соответственно F_0 и G_0 , удовлетворяющие уравнениям

$$\frac{\partial^3 F_0}{\partial Y^3} + F_0 \frac{\partial^2 F_0}{\partial Y^2} = 0, \quad (2.8)$$

$$\frac{\partial^2 G_0}{\partial Y^2} + P F_0 \frac{\partial G_0}{\partial Y} = 0. \quad (2.9)$$

Эти уравнения идентичны уравнениям для плоской пластины [10]. Численные расчеты для уравнения Блазиуса (2.8) приведены в [1, 8, 9].

Функция G_1 удовлетворяет уравнению:

$$G_1'' + P(F_0 G_1' - F_0' G_1) + (Y G_0'' + G_0') + 2P F_1 G_0' = 0, \quad (2.10)$$

где производные взяты по Y .

Заметим, что при $P \gg 1$ аппроксимация G_1 может быть найдена легко. В этом случае полезно заменить независимую переменную Y на $J = Y\sqrt{P}$ и использовать приближения (которые верны в рамках ошибки порядка $\frac{1}{\sqrt{P}}$): $F_0 \doteq 2Y = \frac{2J}{\sqrt{P}}$, $G_0 \doteq 1 - \operatorname{erf} J$, $F_1 \doteq \frac{1}{2} F_1''(0) Y^2 = -0.190 \frac{J^2}{P}$. На основании работы [6] уравнение (2.10) приводится к виду

$$\frac{d^2 \tilde{G}_1}{dJ^2} + 2J \frac{d\tilde{G}_1}{dJ} - 2\tilde{G}_1 + \frac{1}{\sqrt{P}} [(2 - F_1''(0))J^2 - 1] \Phi_1 = 0, \quad (2.11)$$

где $\Phi_1 = \frac{d\Phi}{dJ}$ и $\Phi = \operatorname{erf} J$. Уравнение (2.11) имеет решение

$$\tilde{G}_1 = \frac{1}{4\sqrt{P}} \left[(J^2 \Phi_1 + J\Phi - J) + \frac{1}{2} F_1''(0) (-J^2 \Phi_1 + J\Phi - J) \right], \quad (2.12)$$

при этом

$$\left(\frac{d\tilde{G}_1}{dY} \right) \Big|_{y=0} = -0.2 + o\left(\frac{1}{\sqrt{P}} \right). \quad (2.13)$$

Для малых X число Нуссольтя принимает вид

$$N = -\frac{0.8\pi}{X}. \quad (2.14)$$

Следующее приближение для F (суть F_1) определим из уравнения:

$$F_1'''' + F_0 F_1'' - F_0' F_1' + 2F_0'' F_1 + Y F_0'''' + F_0'' = 0, \quad (2.15)$$

с граничными условиями

$$F_1(0) = 0, \quad F_1'(0) = 0, \quad \lim_{Y \rightarrow \infty} F_1' = 0. \quad (2.16)$$

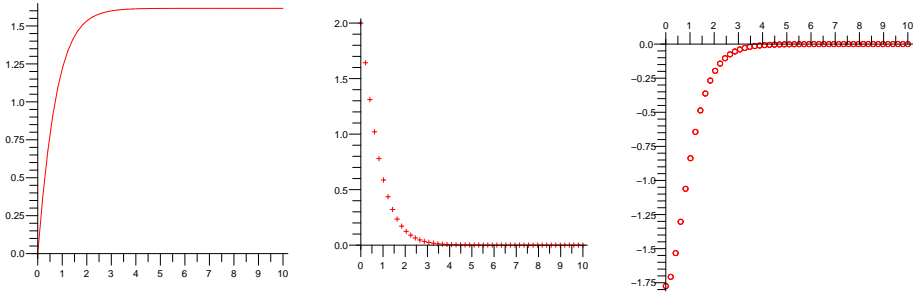


Рис. 1. Первая аппроксимация распределения скорости для функции F_0 и ее первой и второй производной.

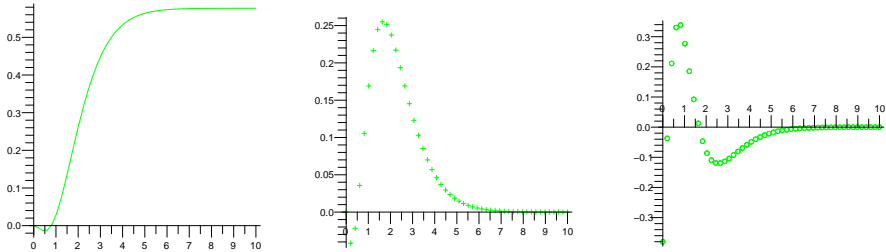


Рис. 2. Первая аппроксимация распределения скорости для функции F_1 и ее первой и второй производной.

Численные решения уравнений (2.8) и (2.15) с соответствующими граничными условиями для аппроксимации уравнения движения (2.4) представлены на рис. 1 – 4.

Численные решения для системы уравнений (2.8), (2.15), (2.9) и (2.12) с соответствующими граничными условиями для уравнения теплопроводности (2.5) представлены в таблицах 1, 2.

Подставляя ряды (2.6) и (2.7) в уравнения (2.4) и (2.5) и приравнивая коэффициенты при одинаковых степенях X можем получить дифференциальные уравнения для определения последующих коэффициентов рядов. Эти уравнения имеют следующий вид:

$$F_n^{(3)} + F_n^{(2)} F_0 - n F_n^{(1)} F_0^{(1)} + (n+1) F_n F_0^{(2)} + M_n(F_0, F_1, \dots, F_{n-1}) = 0, \quad (2.17)$$

$$G_n^{(2)} + P F_0 G_n^{(1)} - P F_0^{(1)} G_n + N_n(F_0, \dots, F_n, G_1, \dots, G_{n-1}) = 0, \quad (2.18)$$

где $n = 1, 2, \dots$, M_n, N_n – определенные функции, например M_1 определена как

$$M_1 = F_0^{(2)} + Y F_0^{(3)}.$$

Таблица 1.

Первая аппроксимация распределения скорости для функции F_0, F_1 и их первых и вторых производных.

N	1	2	3	4	5
F_0	1.218553	1.533083	1.599455	1.612806	1.615464
F'_0	0.603567	0.13248714	0.026869	0.005359	0.001065
F''_0	-0.858023	-0.208639	-0.043201	-0.008653	-0.001722
F_1	0.027446	0.261262	0.448101	0.533272	0.563855
F'_1	0.163368	0.240737	0.129497	0.050171	0.016491
F''_1	0.28499	-0.800315	-0.107140	-0.52452	-0.019295

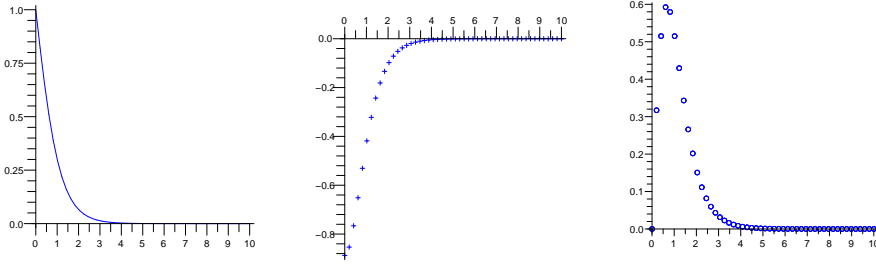


Рис. 3. Первое приближение распределения тепла для функции G_0 и ее первой и второй производной.

Чтобы найти решение уравнений (2.17) и (2.18), мы должны задать начальные условия.

Решим систему (2.4) – (2.5) с начальными условиями:

$$(\alpha) \begin{cases} F|_{Y=0} = a_{00} + a_{01}X + a_{02}X^2 + \dots \\ F'_Y|_{Y=0} = a_{10} + a_{11}X + a_{12}X^2 + \dots \\ F''_{Y^2}|_{Y=0} = a_{20} + a_{21}X + a_{22}X^2 + \dots, \end{cases}$$

$$(\beta) \begin{cases} G|_{Y=0} = b_{00} + b_{01}X + b_{02}X^2 + \dots \\ G'_Y|_{Y=0} = b_{10} + b_{11}X + b_{12}X^2 + \dots \end{cases}$$

Тогда для уравнений (2.17) – (2.18) получаем начальные условия вида

$$\begin{cases} F_n|_{Y=0} = a_{0n} \\ F'_n|_{Y=0} = a_{1n} \\ F''_n|_{Y=0} = a_{2n} \end{cases} \quad \begin{cases} G_n|_{Y=0} = b_{0n} \\ G'_n|_{Y=0} = b_{1n} \end{cases}$$

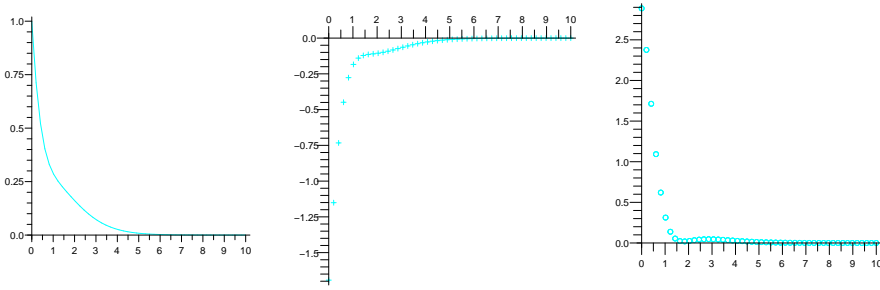


Рис. 4. Первое приближение распределения тепла для функции G_1 и ее первой и второй производной.

Таблица 2.

Первое приближение распределения тепла для функции G_0, G_1 и их первой производной.

N	1	2	3	4	5
G_0	0.301783	0.662435	0.134347	0.267996	0.532728
G'_0	-0.429011	-0.104319	-0.216006	-0.432698	-0.861045
G_1	0.288841	0.161625	0.729456	0.267143	0.856935
G'_1	-0.190674	-0.106676	-0.668176	-0.288583	-0.101708

Граничные условия

$$\left(F + X \frac{\partial F}{\partial X} \right) |_{Y=0} = 0; \quad \frac{\partial F}{\partial Y} |_{Y=0} = 2; \quad G |_{Y=0} = 1$$

требуют следующего выбора постоянных в формулах (α) и (β) :

$$a_{00} = a_{01} = a_{02} = 0, \quad a_{10} = 2, \quad a_{11} = a_{12} = \dots = 0;$$

$$b_{00} = 1, \quad b_{01} = b_{02} = \dots = 0,$$

остальные постоянные могут быть произвольными. Принимая во внимание, что уравнения (2.4) – (2.5) имеют тривиальные решения

$$F = const, \quad G = const.$$

В силу этого на полуоси $0 < Y < \infty$ эти уравнения имеют разрывные решения. А именно справедлива

Теорема 1. *Существует $R > 0$ такое, что в области $D = \{0 \leq X \leq R, 0 \leq Y < \infty\}$, уравнения (2.4) – (2.5) с условиями $Y = 0 : F + X \frac{\partial F}{\partial X} = 0, \frac{\partial F}{\partial Y} = 2, G = 1; Y = \infty : \frac{\partial F}{\partial Y} = G = 0$, имеют решение*

$$F = \begin{cases} \widehat{F}(X, Y), & 0 < Y < R, 0 < X < R, \\ c, & R < Y < \infty, \end{cases}$$

$$G = \begin{cases} \widehat{G}(X, Y), & 0 < Y < R, 0 < X < R, \\ 0, & R < Y < \infty, \end{cases}$$

где c – произвольная постоянная, $\widehat{F}(X, Y)$, $\widehat{G}(X, Y)$ – единственное аналитическое решение уравнений (2.4) – (2.5) с условиями Коши

$$(I) \begin{cases} F(X, Y) |_{Y=0} = 0 \\ F'_Y(X, Y) |_{Y=0} = 2 \\ F''_{Y^2}(X, Y) |_{Y=0} = a_2(X) \end{cases} \quad (II) \begin{cases} G(X, Y) |_{Y=0} = 1 \\ G'_Y(X, Y) |_{Y=0} = b_1(X), \end{cases}$$

где $a_2(X)$, $b_1(X)$ – фиксированные аналитические функции определенные при $0 \leq X \leq \overline{R}$, R – радиус сходимости рядов

$$F = F_0 + XF_1 + X^2F_2 + \dots,$$

$$G = G_0 + XG_1 + X^2G_2 + \dots,$$

$$0 < R \leq \overline{R}$$

Доказательство теоремы:

Существование единственного при $0 \leq X \leq R$, $0 \leq Y \leq R$ решения системы (2.4) – (2.5) с условиями Коши

$$\widehat{F}(X, 0) = 0, \widehat{F}'_Y(X, 0) = 2, \widehat{F}^{(2)}_Y(X, 0) = a(X),$$

$$\widehat{G}(X, 0) = 1, \widehat{G}'_Y(X, 0) = b(X)$$

следует из теоремы Коши-Ковалевской (см., например, [4]). Выполнение граничного условия $\left(F + X \frac{\partial F}{\partial X}\right)_{Y=0} = 0$, $G|_{Y=0} = 1$, $\frac{\partial F}{\partial Y}|_{Y=0} = 2$ вытекает из вида решения F, G . Тривиальным решением системы (2.4) – (2.5) являются произвольные постоянные. Поэтому разрывное решение

$$F = \begin{cases} \widehat{F}(X, Y), & 0 \leq Y \leq R, 0 \leq X \leq R, \\ c, & R < Y < \infty, \end{cases}$$

$$G = \begin{cases} \widehat{G}(X, Y) & 0 \leq Y \leq R, 0 \leq X \leq R, \\ 0, & R \leq Y < \infty, \end{cases}$$

удовлетворяет граничному условию на бесконечности $\frac{\partial F}{\partial Y}|_{Y=\infty} = 0$, $G|_{Y=\infty} = 0$. Теорема доказана.

При произвольной постоянной c и произвольных начальных функциях $a(X), b(X)$ в условиях

$$\widehat{F}(X, 0) = 0, \widehat{F}'_Y(X, 0) = 2, \widehat{F}^{(2)}_Y(X, 0) = a(X),$$

$$\widehat{G}(X, 0) = 1, \widehat{G}_Y(X, 0) = b(X)$$

построенное решение F, G поставленной краевой задачи может оказаться разрывным. Чтобы решение было непрерывным, функции $a(X), b(X)$, постоянную c и подвижную границу R надо выбирать определенным образом. Для этого достаточно $a(X), b(X), c$ и R_1 , где $R_1 \leq R$ выбрать так, чтобы решение задачи Коши (2.4) и (2.5) с условиями

$$\widehat{F}(X, 0) = 0, \widehat{F}'_Y(X, 0) = 2, \widehat{F}^{(2)}_Y(X, 0) = a(X),$$

$$\widehat{G}(X, 0) = 1, \widehat{G}_Y(X, 0) = b(X)$$

при $Y = R_1$ удовлетворяли условиям $\widehat{F}(X, R_1) = const, \widehat{G}(X, R_1) = 0$. Подходящие функции $a(X), b(X)$, постоянную c и подвижную границу R_1 , вообще говоря, можно выбрать известным методом прогонки или методом стрельбы.

3. Заключение

Доказанная теорема гарантирует разрешимость рассматриваемой краевой задачи в классе разрывных функций и устанавливает сходимость рядов в численно-аналитическом методе Крайна [6, 7] для системы Навье-Стокса (1.1) – (1.3). Методом пристрелки, вообще говоря, можно подобрать такие начальные функции и “подвижную” границу R_1 , при которых соответствующее решение будет непрерывным. Ввиду важности построения непрерывных решений при моделировании процессов формирования волокон на основе системы (1.1) – (1.3) этот вопрос заслуживает отдельного рассмотрения. Результаты расчетов, приведенные в таблицах 1, 2, показывают, что привлечение старших членов разложения в ряды существенно повышают точность в моделировании процесса формирования в сравнении с результатами работ [6, 7].

Список литературы

1. Дрегля А. Краевые задачи в моделировании формирования волокон аналитические и численные методы / А. Дрегля. – Saarbrücken : Lambert Academic Publishing GmbH & Co. KG, 2012. – 110 с.
2. Дрегля А. И. Некоторые аналитические и точные решения систем уравнений в теории моделирования полимеров / А. И. Дрегля // Сиб. журн. индустр. математики. – 2008. – Т. 11. – С. 61–70.
3. Дрегля А. И. О решениях одной нелинейной краевой задачи на полуоси с малым параметром / А.И. Дрегля // Изв. Иркут. гос. ун-та. Сер. Математика. – 2009. – Т. 2, № 1. – С. 313–316.

4. Петровский И. Г. Лекции об уравнениях с частными производными / И. Г. Петровский. – М. : Наука, 1961.
5. Сидоров Н. А. О малых решениях нелинейных уравнений с векторным параметром в секториальных окрестностях / Н. А. Сидоров, Р. Ю. Леонтьев, А. И. Дрегла // *Мат. заметки*. – 2012. – Т. 91. – С. 120–135.
6. Crane L. J. Heat Transfer on Continuous Solid Surfaces / L. J. Crane // *Ing. Arch. Bd.* – 1974. - Vol. 23. – P. 203–214.
7. Crane L. J. Boundary Layer Flow on a Circular Cylinder Moving in Fluid at Rest / L. J. Crane // *Journal of Applied Mathematics and Physics (ZAMP)*. - 1972. – Vol. 23. – P. 201–212.
8. Dreglea A. I. Robust Numerical Method Based On Blasius' Approach For Flow Past a Flat Plate in The Case Of Heat Transfer For Large Reynolds Numbers / A. I. Dreglea, G. I. Shishkin // *Abstracts of the International Conference CMAM-1, Minsk, Belarus.* – 2003. – P. 19–20.
9. Dreglea A. I. Robust Numerical Method Based on Blasius Approach for a Flow Past Flat Plate For Large Reynolds Numbers / A. I. Dreglea, G. I. Shishkin // *Proc. of Irish Soc. Sci. and Eng. Comput.: Ann. Symp., Irish Soc. Sci. and Eng. Comput. Publ., 23–24 May, 2003.* – Belfield, Dublin, 2003. – P. 14.
10. *Robust Computational Techniques for Boundary Layers* / P. A. Farrel, A. F. Hegarty, J. J. H. Miller, G. I. Shishkin. – Florida, USA : Chapman and hall CRC, 2000. – 275 p.
11. Saban R. A. Skin-friction and heat-transfer characteristics of a laminar boundary layer on a cylinder in axial incompressible flow / R. A. Saban, R. Bond // *J. Aero. Science.* – 1951. - Vol. 18. – P. 671.

Aliona Dreglea

Application of the Seban and Bond Transform and the Cauchy – Kovalevskaya Theorem for one Boundary Layer Problem for Navier – Stokes Equations

Abstract. The Seban and Bond change of variables and the Cauchy – Kovalevskaya theorem are employed for solution to the boundary layer problem derived from the Navier – Stokes equations in the theory of melt spinning process.

Keywords: melt spinning, PDE, Navier-Stokes equation.

Дрегла Алена Ивановна, м.н.с, отдел НИЧ, Иркутский государственный университет, 664033, Иркутск. ул. К. Маркса, 1,
(adreglea@gmail.com)

Dreglea Aliona, Irkutsk State University, 1 K. Marksa St., 664033, Irkutsk, Russia, (adreglea@gmail.com)